
ÚZKOSTNOST VE VZTAHU K MATCE JAKO JÁDRO TĚLESNÉ NESPOKOJENOSTI: CCA ATTACHMENTU A BODY IMAGE

Body image — nebo tělesné sebepojetí — není jen to, jak člověk vypadá, ale hlavně to, jak své tělo vnímá, hodnotí a prožívá. Zahrnuje složku percepční, kognitivní, emoční i behaviorální (Cash & Smolak, 2011; Vallar, 2024). Nespokojenost s vlastním tělem je přitom v období mladé dospělosti velmi rozšířená a jedním z klíčových faktorů jejího vzniku je internalizace ideálů krásy, které na nás každodenně působí přes média a sociální sítě (Tiggemann, 2011; Jiotsa et al., 2021).

Vedle těchto sociokulturních vlivů hraje roli i to, jaké vztahové zkušenosti si neseme z dětství. Bowlby (1969) formuloval teorii vztahové vazby, podle které rané zkušenosti s primárními pečovateli formují tzv. vnitřní pracovní modely — mentální šablony toho, jak fungují vztahy a jakou hodnotu máme my sami. Tyto modely pak ovlivňují, jak regulujeme emoce a jak se hodnotíme (Bretherton, 1992). V dospělosti se vztahová vazba nejčastěji popisuje dvěma dimenzemi: úzkostností a vyhýbavostí (Bartholomew & Horowitz, 1991). Výzkumy ukazují, že nejistá vazba — tedy vysoká úzkostnost nebo vyhýbavost — se pojí s vyšší tělesnou nespokojeností a symptomy poruch příjmu potravy (Illing et al., 2010; Troisi et al., 2006) i s nižší psychickou pohodou obecně (Kenny et al., 2005).

V rámci své předchozí práce jsem zjistila, že dimenze vztahové vazby k rodičům (vyhýbavost a úzkostnost vůči otci a matce) jsou jako sada statisticky významným multivariátním prediktorem profilu tělesného sebepojetí (AO, OWP, AE+BASS). MANOVA ale pracuje jednosměrně: attachment je prediktor, body image je výsledek. Nezodpovězenou otázkou zůstalo, zda existuje hlubší sdílená struktura mezi oběma doménami jako celky — tedy jaké konkrétní vzorce kovariance je propojují.

Proto jsem se v této práci rozhodla pro kanonickou korelační analýzu (CCA). Zjednodušeně řečeno: CCA z každé sady proměnných sestaví jedno souhrnné skóre a hledá takovou kombinaci, aby si obě co nejvíce odpovídala. Na rozdíl od regrese přitom nestojí jeden set nad druhým — oba jsou rovnocenné. To umožňuje číst, které složky attachmentu a body image spolu kovariují, aniž bychom museli předem rozhodovat o tom, co je příčina a co důsledek (Sherry & Henson, 2005).

Původ dat

Na tuto práci jsem použila data sbíraná v rámci výzkumu ke své bakalářské práci (Nováková, 2024), zaměřené na souvislost mezi body image a vztahovou vazbou v mladé

dospělosti. Výzkumný soubor tvořili respondenti ve věku mladé dospělosti, přičemž sběr dat probíhal anonymně prostřednictvím standardizovaných sebeposuzovacích škál.

Subškály **Appearance Evaluation** (AE) a **Body Areas Satisfaction Scale** (BASS) zachycují celkovou spokojenost s vlastním vzhledem a konkrétními tělesnými oblastmi, zatímco **Appearance Orientation** (AO) měří míru investice do vzhledu a jeho důležitost pro sebepojetí. Obavy z přibírání (**Overweight Preoccupation**, OWP) reflektují kognitivní a emoční zaujetí tělesnou hmotností. Percepční složka body image byla doplněna metodou **Basic Olomouc Body Rating** (BOBR), která umožňuje porovnání reálně vnímané a ideální postavy.

Dataset tedy obsahuje dimenze vztahové vazby k matce a otci (úzkostnost, vyhýbavost), škály tělesného sebepojetí (AO, OWP, AE+BASS), dále rozdílové skóre BOBR, BMI a vybrané demografické proměnné.

Metoda analýzy

Do analýzy vstoupila data celkem $N = 326$ respondentů (ženy $n = 234$, muži $n = 92$). **Sada X** (attachment) zahrnuje čtyři dimenzionální skóre: vyhýbavost k otci, vyhýbavost k matce, úzkostnost k otci a úzkostnost k matce. **Sada Y** (tělesné sebepojetí) zahrnuje tři škálové skóre: Appearance Orientation (AO), Overweight Preoccupation (OWP) a kombinovanou škálu Appearance Evaluation + Body Areas Satisfaction Scale (AE+BASS). Před analýzou byly všechny proměnné standardizovány (z-skóre). Data neobsahovala chybějící hodnoty.

CCA funguje tak, že z každé sady proměnných sestaví jedno souhrnné skóre — tzv. kanonický variát — a hledá takovou kombinaci, aby si obě skóre co nejvíce odpovídala. Tím pádem místo desítek individuálních korelací mezi každou proměnnou attachmentu a každou proměnnou body image dostaneme několik přehledných vzorců. Protože máme čtyři proměnné attachmentu a tři proměnné body image, může analýza odhalit nejvýše tři takové vzorce ($\min(4, 3) = 3$).

Jestli má daný vzorec smysl interpretovat, nebo jde jen o šum, určujeme pomocí Wilksovy lambdy. Ta říká, kolik ze sdílené variability mezi sadami ještě zbývá nevysvětleno — čím blíže 1, tím méně. Testujeme postupně: nejdřív všechny tři funkce dohromady, pak bez první atd.

Abychom pochopili, co jednotlivé funkce věcně znamenají, díváme se na strukturální koeficienty — jde o korelace původních proměnných s kanonickými variáty, které se čtou stejně jako běžné korelace. Jako praktický práh zvýrazňujeme hodnoty s $|r| \geq 0,400$. Sílu celého vztahu mezi sadami je možné doplnit redundančním indexem: udává, kolik procent rozptylu jedné sady je sdíleno s variátem druhé sady — tedy jak moc attachment jako celek „vysvětluje“ variabilitu v body image (Sherry & Henson, 2005).

Test předpokladů

Mahalanobisova vzdálenost identifikovala 3 odlehle hodnoty ($z N = 326$, $\chi^2 > 24,322$ při $df = 7$, $p < ,001$) — zanedbatelný podíl, který výsledky nepovažujeme za nepřiměřeně ovlivněný. Multikolinearita je nízká (VIF: attachment 1,47–1,69; body image 1,22–1,64). Shapiro–Wilkův test odmítl normalitu u všech sedmi proměnných ($p < ,05$). Při $N = 326$ je CCA vůči odchylkám od normality robustní (Tabachnick & Fidell, 2019).

Výsledky CCA

Z výsledků vidíme, že třetí funkce ($R_c = 0,047$, $p = ,705$) je statisticky nevýznamná — tedy žádný třetí smysluplný vzorec mezi attachmentem a body image v datech není — a dále ji neinterpretujeme. Zbývají dvě funkce, které stojí za pozornost.

Protože data nesplňují předpoklad normality, ověřili jsme výsledky ještě dvěma způsoby nezávislými na tomto předpokladu. Permutační test opakovaně náhodně promíchal data a zkoumal, jak často by takto silná korelace vznikla čistě náhodou — nestalo se to ani v jednom případě z tisíce pro F1 ($p < 0,001$) ani pro F2 ($p = 0,001$). Bootstrapové 95% BCa intervaly spolehlivosti pak ukázaly, že kanonické korelace obou funkcí se od nuly věrohodně liší (viz Tabulka 1). Obě metody tedy potvrdily, že nalezené vzorce nejsou artefaktem porušené normality.

Tabulka 1: Souhrn kanonických funkcí (CCA) s bootstrapovou validací

| F | R | R ² | Wilksova λ | χ^2 | df | p | 95% BCa CI | Redund. Y | Redund. X |
|---|-------|----------------|-----------------------|----------|----|---------|-------------------|--------------|--------------|
| 1 | 0,373 | 0,139 | 0,819 | 64,04 | 12 | < 0,001 | [0,261; 0,444] | 0,076 | 0,057 |
| 2 | 0,216 | 0,047 | 0,951 | 16,02 | 6 | 0,014 | [0,088; 0,282] | 0,014 | 0,009 |

Strukturální koeficienty pro obě sady uvádějí Tabulky 2a a 2b. Tučně jsou zvýrazněny hodnoty s $|r| \geq 0,400$.

Tabulka 2a Strukturální koeficienty pro tělesné sebepojetí (Y)

| Proměnná | F1 | F2 |
|----------|---------------|--------------|
| AO | -0,422 | 0,903 |
| OWP | -0,778 | 0,156 |
| AE+BASS | 0,927 | 0,276 |

Tabulka 2b Strukturální koeficienty pro attachment (X)

| Proměnná | F1 | F2 |
|--------------------|---------------|---------------|
| Vyhýbavost — otec | -0,451 | -0,257 |
| Vyhýbavost — matka | -0,557 | -0,579 |
| Úzkostnost — otec | -0,506 | 0,619 |
| Úzkostnost — matka | -0,937 | 0,142 |

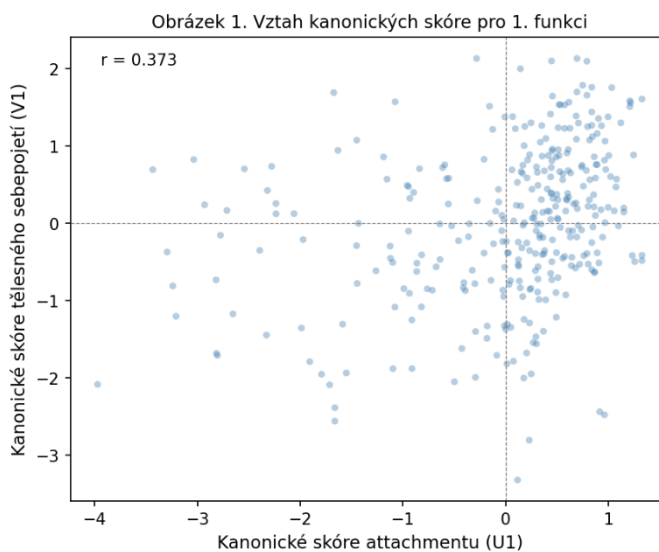
Interpretace funkcí

První funkce ($R_c = 0,373$, 95% BCa CI [0,261; 0,444], permutační $p < 0,001$) říká v jádru jednoduchou věc: lidé s vyšší mírou nejistoty ve vztahové vazbě — především s vyšší úzkostností ve vztahu k matce ($r = -0,937$) — mají zároveň nižší spokojenost s vlastním tělem a vzhledem (AE+BASS, $r = 0,927$) a více se obávají přibírání na váze (OWP, $r = -0,778$). Záporná znaménka na obou stranách se vzájemně kompenzují: attachment i body image jsou v této funkci orientovány tak, že čím horší vazba, tím horší body image. Orientation (AO) přispívá ke vzorci slaběji ($r = -0,422$). Redundanční index 0,076 pak říká, že attachment jako celek sdílí přibližně 7,6 % rozptylu v sadě body image — není to velký podíl, ale při $N = 326$ jde o věcně relevantní signál.

Druhá funkce ($R_c = 0,216$, 95% BCa CI [0,088; 0,282], permutační $p = 0,001$) je výrazně slabší — redundance Y je jen 1,4 %. Z body image proměnných ji nese prakticky výhradně Appearance Orientation ($r = 0,903$), tedy míra, do jaké člověk vědomě investuje pozornost a čas do svého vzhledu. Na straně attachmentu jdou dvě dimenze opačným směrem: vyšší úzkostnost k otci ($r = 0,619$) na jedné straně, nižší vyhýbavost k matce ($r = -0,579$) na straně druhé. Jinými slovy, vyšší orientace na vzhled se pojí s určitou ambivalencí v rodičovské vazbě — blízkostí k matce, ale zároveň nejistotou ve vztahu k otci. Věcná interpretace je méně přímočará než u první funkce a vzhledem k nízké redundanci ji není vhodné přeceňovat.

Na grafu níže je zobrazení závislosti. Každý bod v grafu představuje jednoho respondenta. Vodorovná osa (U1) je kanonické skóre attachmentu — čím vyšší hodnota, tím nižší celková míra nejistoty ve vztahové vazbě k rodičům. Svislá osa (V1) je kanonické skóre tělesného sebepojetí — čím vyšší hodnota, tím příznivější profil body image (vyšší spokojenost s tělem, nižší obavy z hmotnosti). Kladná korelace mezi oběma variáty ($R = 0,373$) je v grafu viditelná jako mírný vzestupný trend: lidé s jistější vazbou k rodičům mají tendenci skórovat výše i na prvním variátu body image. Rozptyl kolem pomyslné přímky je ale značný, což odpovídá tomu, že attachment vysvětluje jen část variability v tělesném sebepojetí.

Obrázek 1: Vztah mezi prvním kanonickým variátem attachmentu (U1) a prvním kanonickým variátem tělesného sebepojetí (V1)



Diskuze a závěr

Výsledky CCA ukázaly dva vzorce společné variability mezi dimenzemi vztahové vazby a tělesným sebepojetím. Silnější z nich říká, že lidé s vyšší mírou nejistoty ve vazbě — především s vyšší úzkostností ve vztahu k matce — mají zároveň nižší spokojenost s tělem a více se obávají přibírání. To dává intuitivní smysl: pokud si člověk od raného věku nese zkušenost, že blízký vztah je nejistý nebo nepředvídatelný, může být citlivější na to, jak ho druzí hodnotí, a tělo se stává jednou z oblastí, kde se tato nejistota projevuje (Bowlby, 1969; Bretherton, 1992).

Druhý vzorec je slabší a méně přímočarý. Ukazuje, že vyšší orientace na vzhled (AO) se pojí s určitou specifickou konstelací rodičovské vazby — vyšší úzkostností k otci a nižší vyhýbavostí k matce. Redundance tohoto vzorce je ale pouhých 1,4 %, takže věcná relevance je omezená a interpretaci je vhodné brát s rezervou.

Pokud porovnáme výsledky CCA s výsledky MANOVA z předchozí části, zjistíme, že si vzájemně odpovídají — obě metody poukazují na vyhýbavost k otci a úzkostnost k matce jako na dimenze nejsilněji spojené s tělesným sebepojetím. CCA ale přidává jeden důležitý doplněk: ukazuje, že jde o strukturální vzorec sdílený oběma doménami jako celky, nejenom o efekt jednotlivých prediktorů. Navíc fakt, že permutační testy a bootstrapové intervaly dospěly ke stejným závěrům jako klasické testování, dává výsledkům větší důvěryhodnost i přesto, že data nesplňovala předpoklad normality.

Hlavním limitem práce je průřezový design — z korelačních dat nelze usuzovat na příčinné vztahy, a tak nevíme, zda nejistá vazba tělesnou nespokojenost skutečně způsobuje,

nebo zda spolu obě proměnné pouze kovariují z důvodu třetích faktorů. Redundanční indexy jsou navíc celkově skromné, což ale odpovídá tomu, že tělesné sebepojetí je ovlivňováno mnoha faktory najednou — attachment je jen jedním z nich. Do budoucna by bylo zajímavé výsledky ověřit na nezávislém vzorku a doplnit analýzy, které by blíže osvětlily, jakým mechanismem vztahová zkušenost na vnímání těla působí.

Použité zdroje

- Bartholomew, K., & Horowitz, L. M. (1991). Attachment styles among young adults: A test of a four-category model. *Journal of Personality and Social Psychology*, 61(2), 226–244. <https://doi.org/10.1037/0022-3514.61.2.226>
- Bowlby, J. (1969). *Attachment and loss: Vol. 1. Attachment*. Basic Books.
- Bretherton, I. (1992). The origins of attachment theory: John Bowlby and Mary Ainsworth. *Developmental Psychology*, 28(5), 759–775. <https://doi.org/10.1037/0012-1649.28.5.759>
- Cash, T. F., & Smolak, L. (Eds.). (2011). *Body image: A handbook of science, practice, and prevention* (2nd ed.). Guilford Press.
- Illing, V., Tasca, G. A., Balfour, L., & Bissada, H. (2010). Attachment insecurity predicts eating disorder symptoms and treatment outcomes in a clinical sample of women. *Journal of Nervous & Mental Disease*, 198(9), 653–659. <https://doi.org/10.1097/NMD.0b013e3181ef34b2>
- Jiotsa, B., Naccache, B., Duval, M., Rocher, B., & Grall-Bronnec, M. (2021). Social media use and body image disorders. *International Journal of Environmental Research and Public Health*, 18(6), 2880. <https://doi.org/10.3390/ijerph18062880>
- Kenny, M. E., Griffiths, J., & Grossman, J. (2005). Self-image and parental attachment among late adolescents. *Journal of Adolescence*, 28(5), 649–664. <https://doi.org/10.1016/j.adolescence.2005.08.009>
- Nováková, M. (2024). *Souvislost mezi body image a vztahovou vazbou v mladém dospělosti* (Bakalářská práce). Univerzita Palackého v Olomouci, Filozofická fakulta.
- Sherry, A., & Henson, R. K. (2005). Conducting and interpreting canonical correlation analysis in personality research: A user-friendly primer. *Journal of Personality Assessment*, 84(1), 37–48. https://doi.org/10.1207/s15327752jpa8401_09
- Tabachnick, B. G., & Fidell, L. S. (2019). *Using multivariate statistics* (7th ed.). Pearson.
- Tiggemann, M. (2011). Sociocultural perspectives on human appearance and body image. In T. F. Cash & L. Smolak (Eds.), *Body image: A handbook of science, practice, and prevention* (2nd ed., pp. 12–19). Guilford Press.
- Troisi, A., Di Lorenzo, G., Alcini, S., Nanni, R. C., Di Pasquale, C., & Siracusano, A. (2006). Body dissatisfaction in women with eating disorders. *Psychosomatic Medicine*, 68(3), 449–453. <https://doi.org/10.1097/01.psy.0000204923.09390.5b>

Vallar, G. (2024). Body schema and body image as internal representations of the body. *Journal of Neuropsychology*, 19(S1), 8–25. <https://doi.org/10.1111/jnp.12389>